

Gravidade Emergente a partir do Acoplamento Não-Linear de Deformações Quânticas

Por: Natã Fernandes da Silva

Email: natecofernandes@gmail.com

Apêndice

Link para os cálculos computacionais usados:

https://colab.research.google.com/drive/1qSzzykasHStGrtBPard_9DLbJCUjpR4e?usp=sharing

Resumo

Neste estudo apresento uma outra forma de olharmos para um efeito que está presente em nosso dia a dia, algo tão sutil que chega a ser quase imperceptível, mas que impacta nossas vidas desde os primórdios, não só da civilização, mas de todo o cosmos. Analisaremos de forma direta como a gravidade pode surgir de forma inerente de interações quânticas, tendo em mente as teorias de campo de Einstein, tentaremos não o contrariar, mas sim complementá-lo e mostrar que embora a relatividade geral seja excelente em nos dizer o efeito que a gravidade é em si, ela não nos fornece a resposta de onde este efeito vem ou como ele surge. É isso que será abordado neste estudo. Uma nova visão sobre como a gravidade pode emergir de efeitos de distorção individuais do espaço-tempo de partículas fundamentais dada suas características como massa, spin, momento angular, campos magnéticos etc.

Introdução

Desde Newton, o homem vem tentando entender esse fenômeno inegavelmente perceptível, essa força que nos mantém presos ao chão, uma força aparentemente fraca, mas forte o suficiente para manter ligações, desde átomos até estruturas milhares de vezes maiores, macroscópicamente falando, a gravidade. Passando por Newton que formulou que a gravidade seria uma força fundamental da natureza que se sobrepõe a todos nós, levando-a a uma formulação basicamente de causa e efeito, até chegarmos em Einstein que o contrariou e revolucionou a física de seu tempo e a atual, introduzindo o conceito de geometria no assunto em questão. A premissa era simples, o espaço e o tempo, são semelhantes a uma malha que pode ser torcida ou curvada, essa malha se curva com a presença de massa ou energia, com essa tal curvatura se intensificando para em direção a massa em questão, esse efeito curvo seria o que nos sentimos como a gravidade. Ou seja, isso

nada mais seria do que estarmos sentindo a geometria do espaço e do tempo sendo curvados de formas complexas.

Não demorou muito até ser comprovado empiricamente que Einstein estava correto em sua hipótese. E por motivos de concordância mútua da comunidade acadêmica, a relatividade restrita, que logo seria incrementada com conceitos fisicamente ainda mais complexos o que aumentariam ainda mais sua precisão, passou a ser a relatividade geral a melhor descrição atual para a gravidade. A relatividade de Einstein propõe que, como mencionado antes, o espaço e o tempo na realidade estão intrinsecamente ligados formando um tecido ao qual foi atribuído o nome de espaço-tempo. Einstein diz que a presença de matéria e energia, que basicamente são a mesma coisa, como o próprio nos demonstrou com a famosa fórmula $E = mc^2$, podem curvar esse tecido de formas complexas envolvendo densidade de energia, a própria massa etc.

Logo foi observado, que embora a relatividade geral seja um excelente formalismo para descrever como a gravidade age, e como ela aparentemente surge, ficou claro que este formalismo falha em tentar descrever exatamente de onde ela vem, como ela realmente nasce. Sabemos que, sim, a gravidade surge como já mencionado várias vezes, da presença de massa e energia no espaço-tempo, que se curva devido a essa combinação, mas algo não pode surgir do “nada” somente porque algo está presente ali, a própria física nos diz que isso é impossível. O ponto em que estou querendo chegar é que a relatividade nos diz que o espaço e o tempo se curvam devido a presença de massa e energia, mas ela não nos diz explicitamente como isso acontece, ou seja, ela não nos diz exatamente como essa massa consegue curvar o espaço-tempo. De onde surge a curvatura a quem da simples presença de massa no espaço, como ela se forma intrinsecamente, se um planeta consegue curvar o espaço-tempo, uma partícula também não deveria surtir o mesmo efeito em escala menor então? Essas são perguntas, que principalmente em escalas microscópicas, a relatividade não consegue nos responder.

Desenvolvimento

Dito isso, alguns físicos e o próprio Einstein como no trabalho de Einstein-Cartan, começaram a ver a necessidade de chegar a um novo formalismo matemático que pudesse responder a estas perguntas, algo que conseguisse responder essa discrepância entre porque a relatividade geral consegue descrever perfeitamente o macro, mas falha ao tentar descrever o micro. Atualmente existem várias teorias que tentam resolver este problema, como gravidade quântica em loop, a própria teoria da gravidade de Einstein-Cartan, teoria das cordas, a teoria de Verlinde etc. O grande problema é que quando se tenta conectar estes dois ramos da física, a matemática tende a ficar extremamente complexa com o surgimento de termos que tendem ao infinito, termos não lineares e complexos etc. Também há a falta de evidências experimentais diretas que guiem na direção certa para unificar essas teorias, um desses experimentos que acabou ficando famoso no meio acadêmico/científico foi a tentativa de detecção do gráviton, que em teoria seria a partícula mediadora da gravidade. Que assim como o fóton é para a luz, essa partícula seria para a gravidade.

Dito essa breve contextualização, agora nos aprofundaremos em minha hipótese. Analisando e observando alguns trabalhos sobre teorias quânticas da gravidade, bem como o experimento que tentou observar o gráviton empiricamente, cheguei a uma conclusão, eu diria, um tanto ousada. Talvez estejamos olhando para o problema de forma equivocada, levando a relatividade de Einstein em consideração, a massa curva o espaço-tempo, logo, percebi que isso poderia se aplicar para qualquer massa e não somente a massas estelares. Então me veio a mente como um estalar de dedos, e se ao invés de apenas uma partícula em específico, como o gráviton, todas as partículas fossem mediadoras da gravidade? Isso explicaria a dificuldade em detectar essa partícula hipotética e o fato de que experimentalmente já foi possível detectar mesmo que infimamente, vestígios dessa

partícula. Então recorri a idealização de um formalismo que talvez pudesse explicar essa hipótese, o achei na teoria das cordas.

A teoria das cordas nos propõe que as partículas na verdade são ativos muitos semelhantes a cordas, onde cada uma tem características específicas, como cordas fechadas ou abertas, essas cordas possuem vibrações que também são características inerentes ao tipo de corda, logo cada corda vibra de maneira diferente e essa combinação de forma e vibração nos dão as características que conhecemos como massa, spin, momentum etc. então introduzi o seguinte conceito, cada corda vibrante causaria uma pequena perturbação geométrica no vácuo quântico, ou seja espaço-tempo, aqui sugiro que o vácuo quântico é parte intrínseca do espaço-tempo. Essas perturbações geométricas causariam a deformação. Partindo da equação de Polyakov:

$$S_p = -\frac{T}{2} \int d^2\sigma \sqrt{-\gamma} \gamma^{\alpha\beta} \partial_\alpha X^\mu \partial_\beta X^\nu g_{\mu\nu}(X)$$

A ideia central é que o movimento da corda no espaço-tempo afeta o próprio espaço-tempo, de forma análoga a como massas curvas o espaço-tempo na relatividade geral. Ao acoplas a corda ao espaço-tempo curvo, o termo $g_{\mu\nu}(X)$ na ação pode ser promovido a campo dinâmico, ou seja, não apenas a um fundo fixo, mas algo que também reage à presença da corda. Isso leva a algumas consequências como, ao quantizar a teoria das cordas, exige-se que a invariância conforme na folha de mundo seja mantida. Isso impõe restrições ao espaço-tempo de fundo. Basicamente, a condição de consistência quântica da teoria implica que o tensor energia-momento da folha de mundo seja conservado e traço zero. Isso nos leva a equações de consistência como:

$$\beta_{\mu\nu}^g = R_{\mu\nu} + \dots = 0$$

Essa é a função beta de acoplamento do tensor $g_{\mu\nu}$ e sua anulação é a condição de anomalia conforme nula. Ou seja, a consistência quântica da teoria das cordas exige que o espaço-tempo satisfaça as equações de Einstein, ou suas generalizações. Ao considerar a backreaction da corda, que nada mais é que seu efeito sobre o fundo, o formalismo se aproxima de algo como:

$$G_{\mu\nu} + \dots = T_{\mu\nu}$$

Aqui o lado direito representa o tensor energia-momento da corda, obtido variando a ação de Polyakov com respeito à métrica do espaço-tempo, dado por:

$$T^{\mu\nu}(x) = \frac{2}{\sqrt{-g}} \frac{\delta S_p}{\delta g_{\mu\nu}(x)}$$

Esse tensor é altamente localizado na folha de mundo da corda, e as vibrações da corda modificam sua forma, o que afeta diretamente a estrutura do espaço-tempo. Então as vibrações da corda produzem flutuações locais na geometria do espaço-tempo. E mais ainda, ao quantizar a corda, os modos de vibração da mesma incluem um modo de spin 2 sem massa. Isso quer dizer que a vibração da corda literalmente se manifesta como uma perturbação ondulatória do próprio espaço-tempo. Logo uma corda vibrando cria um estado físico que corresponde a uma “onda gravitacional”, onde o operador correspondente atua como uma perturbação da métrica, onde temos:

$$g_{\mu\nu} = \eta_{\mu\nu} + h_{\mu\nu}$$

Dessa forma descrevemos a propagação de uma corda em um espaço-tempo dinâmico onde ao ser quantizada, as vibrações da corda se traduzem em perturbações na geometria do espaço-tempo, logo uma corda individual ao vibrar, perturba o vácuo quântico e gera uma distorção gravitacional localizada.

Então, o conceito como pode-se ver, é realmente intrigante, mas está um pouco distante de ser comprovado. A teoria das cordas, ainda é uma área em desenvolvimento, e não foi confirmada ainda experimentalmente. A ideia de que as vibrações das cordas podem causar perturbações no espaço-tempo, que se manifestam como ondas gravitacionais ou algo semelhante é plausível, mas ainda carece de evidências empíricas para apoiar essa hipótese. Detectar essas vibrações em escalas subatômicas seria um desafio, já que estamos lidando com energias e distâncias tão pequenas que estão além das capacidades tecnológicas atuais. Dito isso, ainda era preciso manter esse nível de plausibilidade, mas agora com algo mais factível, mais palpável. Com isso, resolvi olhar para o modelo mais tradicional da física de partículas... partículas fundamentais. Ainda não quarks e glúons, o que possivelmente poderia elevar o nível de meu formalismo matemático cujo qual apresentarei logo, mas elétrons, prótons etc. partículas base que compõe toda a matéria.

Analizando ambos os conceitos, tanto da teoria das cordas como a física de partículas mais tradicional, e ainda mantendo em mente a plausibilidade do primeiro esboço desse formalismo, cheguei a uma nova hipótese ainda mais coerente. E se ainda estivermos falando sobre o exato mesmo efeito, apresentado no modelo acima, mas de forma sutilmente diferente, e se por acaso considerarmos não a vibração das cordas, mas as propriedades inerentes às partículas como massa, spin, carga etc. e se de alguma forma essas características se unem de formas complexas para surtir esse mesmo efeito? Foi então que estudando um pouco sobre a teoria de Erik Verlinde, que foi bastante importante para este estudo,

consegui chegar a uma hipótese plausível. Para contextualizar, a teoria de Erik Verlinde propõe que a gravidade não é uma força fundamental em si, mas sim uma manifestação emergente de processos microscópicos mais profundos. Essa teoria sugere que a gravidade se comportaria de maneira diferente variando com a escala.

A primeira premissa é a de que cada partícula que compõe a matéria, causa uma distorção individual no espaço-tempo, inerente a suas propriedades como, massa, momento angular que por sua vez gera campos magnéticos, carga e spin. Mas isso não seria o suficiente para explicar de forma rigorosa e plausível a gravidade em nível macroscópico como vemos, uma única partícula não seria suficiente para curvar tão intensamente o espaço-tempo. Para um melhor entendimento, vamos a um exercício mental rápido, imagine um lago calmo, sua água é tão calma que chega a se tornar um espelho para o céu. Então de repente, uma forte chuva começa a cair, você observa o lago, e o que antes era um tecido espelhado, calmo e límpido, agora é perturbado por milhares de gotas que caem do céu. Ao bater na água, cada gota causa uma ondulação pequena, quase imperceptível se tivesse caído sozinha sobre o lago, então, uma outra gota cai perto dela, e assim por diante, onde cada ondulação se acopla de maneira complexa, onde o resultado é um lago com perturbação global, gerando pequenas ondas que perpetuam pelo lago inteiro.

Assim, chegamos ao cerne de minha hipótese, a gravidade é um fenômeno emergente, resultante da superposição de perturbações discretas geradas pelas propriedades internas de partículas, dado massa, spin, momento angular, campos e carga. Essas perturbações se somam de maneiras complexas e não-lineares e produzem a métrica efetiva do tensor de Einstein do espaço-tempo. Primeiro vamos ao formalismo onde temos de início a descrição de como cada partícula individualmente perturba o espaço-tempo que é dada por:

$$h_{\mu\nu}^{(i)}(x) = \frac{2G}{c^4} \int T_{\mu\nu}^{(i)}(y) \cdot \frac{e^{-||x-y||/\lambda}}{||x-y||} d^3y$$

Aqui temos uma versão modificada da solução de campo linearizado de Einstein, semelhante a uma solução do tipo função green. Essa equação determina a perturbação causada por uma partícula i em um ponto x . O termo exponencial nessa formulação representa um corte na propagação das perturbações, onde seu significado inerente é que as perturbações são locais, mas não são instantâneas. Basicamente este kernel de propagação com decaimento exponencial, significa em sentido físico que a curvatura gerada por uma partícula não se propaga infinitamente como uma onda clássica, mas decai exponencialmente com a distância, ou seja, cada partícula tem um alcance gravitacional efetivo. Temos também lambda que é um parâmetro de correlação quânticas, que se diga de passagem, não exige quantização geométrica como faríamos com redes de spin. É uma regularização. Importante notar que aqui, para lambda, podemos usar escalas de correlação, ou seja, basicamente o nível de interação que estamos lidando.

Agora precisamos descrever a interação do tensor energia-momento, estendido para incluir termos de spin e densidade, o tensor é o seguinte:

$$T_{\mu\nu}^{(i)} = \rho c^2 u_\mu u_\nu + \frac{1}{\mu_0} (F_{\mu\alpha} F_\nu^\alpha - \frac{1}{4} g_{\mu\nu} F_{\alpha\beta} F^{\alpha\beta}) + \frac{2}{\sqrt{-g}} \frac{\delta S}{\delta g^{\mu\nu}}$$

Essa expressão generaliza o tensor de energia-momento canônico. Onde temos o termo variacional com $\frac{\delta S}{\delta g^{\mu\nu}}$ que representa o acoplamento entre o spin da matéria e a geometria do espaço-tempo, assim como proposto na teoria de Einstein-Cartan. Podemos destacar alguns pontos importantes dessa formulação como:

$$\rho = m_i \psi^* \psi$$

$$S = 4\hbar \int \bar{\psi} \gamma^{[\mu} \gamma^{\nu]} \psi d^4x$$

E temos também:

$$T_{ij} = \frac{\hbar}{4m} [\partial_i (\psi^\dagger \sigma_j \psi) - \partial_j (\psi^\dagger \sigma_i \psi)]$$

Este é um termo de momento angular intrínseco, escrito em forma espacial pura, derivado da densidade de corrente de spin da partícula, ele aparece como parte antissimétrica do tensor energia-momento, derivado da corrente axial de spin, com as matrizes de Pauli. Este termo será realmente relevante na próxima formulação que apresento a seguir:

$$h_{\mu\nu}^{(i)}(x) - \Lambda(h_{\mu\nu}^{(i)}(x))^3 = \frac{8\pi G}{c^4} \left(\sum_i T_{\mu\nu}^{(i)}(x) + T_{ij}(x) \right)$$

Antes de explicar contexto da formulação em si, vamos a uma breve explicação do termo de momento angular que como percebido, apareceu novamente. Esse termo aparece como um termo adicional separado da soma do tensor das perturbações individuais. Basicamente ele representa como o spin da partícula, via torção, afeta a curvatura do espaço na direção espacial. Por exemplo, se um campo de spin está alinhado espacialmente como em um gás polarizado ou condensado de Bose-Einstein com spin definido, esse termo não se anula, ou seja, mesmo sem massa, gera curvatura.

Isso é importante para entendermos como a particular com seu spin, além de curvar o espaço-tempo dado massa, campos, e momentum, também pode influenciar a curvatura via torção.

Agora vamos entender a equação em si. O princípio é bem simples, essa equação descreve, dada um determinado número de partículas, e suas respectivas distorções individuais, como cada deformação no espaço-tempo, se acopla de formas complexas e não-linear se somando para formar uma curvatura global que podemos perceber como a gravidade. O termo cúbico é o responsável por representar a não-linearidade do sistema, e suas interações complexas. Onde também foi necessário formalizar como o surge este termo. A origem do mesmo se dá por uma expansão de ação efetiva gravitacional. Inspirado em métodos da física quântica de campos, podemos escrever a ação efetiva como:

$$S_e[h] = S_c + \hbar S^{(1)}[h] + \hbar^2 S^{(2)}[h] + \dots$$

Expandindo a parte gravitacional com correções não-lineares, temos:

$$S[h] = \int d^4x \sqrt{-g} [R + \alpha_1 h^2 + \alpha_2 h^3 + \dots]$$

Ou seja, o termo cúbico emerge naturalmente como ordem superior da curvatura ao expandir:

$$g_{\mu\nu} = \eta_{\mu\nu} + h_{\mu\nu}$$

Resumindo ele representa interações não-lineares gravitacionais como auto acoplamentos e aparece mesmo sem granularidade. Esse formalismo do termo cúbico se baseia na quantização de campos com redes de spin. Mas deixando claro que até aqui o modelo foi construído sobre a premissa de que não é necessariamente obrigatório quantizar o espaço tempo para se trabalhar. E pra completar o formalismo devemos incluir uma condição e contorno assintótica, partindo da ideia de que o espaço-tempo não é um fundo plano absoluto, mas sim uma estrutura maleável, deformável, uma malha geométrica tridimensional que reage à presença de matéria, ou seja, partículas. Isso pode ser dado por:

$$g_{\mu\nu}(x) = \eta_{\mu\nu} + \sum_i h_{\mu\nu}^{(i)}(x) \approx g_{\mu\nu}$$

Basicamente este formalismo nos diz que no limite onde $r \rightarrow \infty$, ou seja, muito longe das fontes de curvatura, a métrica do espaço-tempo se aproxima da métrica de Minkowski, mais a soma das pequenas perturbações causadas por cada particular. De forma resumida isso significa que cada particular contribui localmente para a deformação e no espaço distante, o campo gravitacional total observado é simplesmente a superposição dessas deformações que resulta em uma métrica efetiva global.

Recuperando Newton

Para finalizar o formalismo com elegância, é preciso demonstrar que o modelo recupera com coerência física e lógica o limite clássico de Newton, isso é um teste crucial para toda hipótese ou teoria da gravidade. Recuperar o limite de Newton significa que, em condições de campo fraco e velocidades pequenas, o formalismo precisa reduzir-se à gravitação Newtoniana. Caso contrário entra-se em conflito com centenas de anos de observações empiricamente

bem testadas. De forma objetiva isso significa que quando aplicado aproximações de baixa energia e campo gravitacional fraco a teoria deve produzir uma equação do tipo:

$$\nabla^2 \Phi = 4\pi G \rho$$

Que é a gravitação de Poisson da gravitação clássica, e por consequência levar à segunda lei de Newton gravitacional que é:

$$\vec{F} = -\nabla \Phi = -\frac{GMm}{r^2}$$

Primeiro partimos da equação base do modelo:

$$h_{\mu\nu}^{(i)}(x) - \Lambda(h_{\mu\nu}^{(i)}(x))^3 = \frac{8\pi G}{c^4} \left(\sum_i T_{\mu\nu}^{(i)}(x) + T_{ij}(x) \right)$$

No limite de campo fraco e desprezando auto integração temos:

$$h_{\mu\nu} \approx \frac{8\pi G}{c^4} T_{\mu\nu}$$

Olhando especificamente para a componente h_{00} pois ela está intrinsecamente relacionada com o potencial gravitacional dado por:

$$h_{00} = -\frac{2\Phi}{c^2}$$

No regime em que somente a massa importa, desprezando assim, pressões, campos magnéticos e spin, o tensor energia-momento reduz-se a:

$$T_{00} \approx \rho c^2$$

Logo temos que:

$$h_{00} \approx \frac{8\pi G}{c^4} \cdot \rho c^2 = \frac{8\pi G}{c^2} \rho$$

Então substituindo na definição do potencial gravitacional obtém-se:

$$\frac{-2\Phi}{c^2} \approx \frac{8\pi G}{c^2} \rho \rightarrow \Phi \approx -4\pi G \rho$$

Mas percebe-se que isso está dimensionamento incorreto, pois estamos omitindo a parte diferencial, o correto seria usar a fórmula original da seguinte maneira:

$$h_{00}(x) = \frac{2G}{c^4} \int \frac{T_{00}(y) e^{-||x-y||/\lambda}}{||x-y||} d^3y$$

Substituindo $T_{00} = \rho(y)c^2$ temos o seguinte:

$$h_{00}(x) = \frac{2G}{c^2} \int \frac{\rho(y) e^{-||x-y||/\lambda}}{||x-y||} d^3y$$

E o potencial gravitacional como:

$$\Phi(x) = -\frac{c^2}{2}h_{00}(x) = -G \int \frac{\rho(y)e^{-||x-y||/\lambda}}{||x-y||} d^3y$$

Essa é uma versão modificada da lei de newton com corte exponencial, também chamada de potencial de Yukawa gravitacional, onde temos o seguinte formalismo:

$$\Phi(x) = -G \int \frac{\rho(y)}{||x-y||} e^{-||x-y||/\lambda} d^3y$$

Então, no limite onde $\lambda \rightarrow \infty$, o fator exponencial desaparece e obtemos a segunda lei de newton clássica:

$$\Phi(x) = -G \int \frac{\rho(y)}{||x-y||} d^3y$$

Resumindo, no regime de campo fraco e baixas velocidades, o formalismo da teoria em questão reduz-se ao potencial gravitacional para uma distribuição de massa ρ . Este potencial é do tipo Yukawa, com comprimento de correlação $\lambda = \alpha lP$, que regula a influência da curvatura em escalas subaquáticas. No limite onde $\lambda \rightarrow \infty$, conseguimos recuperar o potencial clássico de Newton, garantindo assim a compatibilidade com o regime gravitacional previamente já bem estabelecido.

Dados empíricos

Dado uma base teórica com tanto tamanho peso, como apresentada no estudo, surgiu a necessidade de encontrar uma forma de validar empiricamente tais argumentações e possíveis previsões que o modelo pudesse fornecer. Foi então que surgiu o caminho que aponta para uma área que atualmente está em constante crescimento e que promete revolucionar diversas áreas do conhecimento futuramente, a computação quântica. Neste processo usei hardware quântico da ibm quantum que desempenhou o principal papel no experimento. Através deste acesso fornecido por uma chave de API privada tive acesso ao hardware quântico, mais precisamente o “IBM_fez”. todos os códigos estarão no notebook do Google colab no link do apêndice.

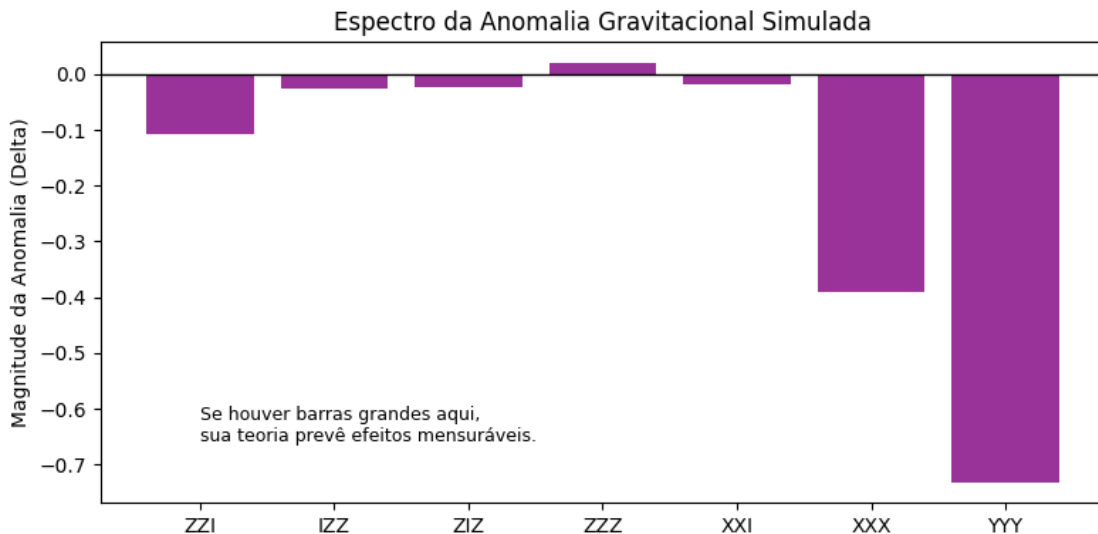
Para traduzir a física da gravidade emergente proposta neste estudo para a linguagem de circuitos quânticos, foi necessário estabelecer um mapeamento direto entre as propriedades fundamentais da teoria e as operações lógicas dos qubits. O objetivo central foi simular o comportamento do Hamiltoniano de interação que inclui o termo não-linear cúbico, fundamental para a nossa hipótese de emergência geométrica. A evolução do sistema foi regida pela seguinte adaptação do operador de evolução temporal, onde a interação entre as partículas (qubits) simula a deformação do espaço-tempo:

$$H_{sim} = \sum_{i < j} J_{ij} Z_i Z_j + \Lambda \sum_{i < j < k} Z_i Z_j Z_k$$

Onde o primeiro termo representa o acoplamento linear clássico (potencial de Yukawa) e o segundo termo, $\Lambda \sum_{i < j < k}$, implementa computacionalmente o termo cúbico $(h_{\mu\nu})^3$ descrito na equação (11)

deste estudo. Para validar a teoria, o experimento foi dividido em dois grupos: um Grupo de Controle (simulando a gravidade Newtoniana linear) e um Grupo Experimental (incluindo as correlações não-lineares de spins e torção).

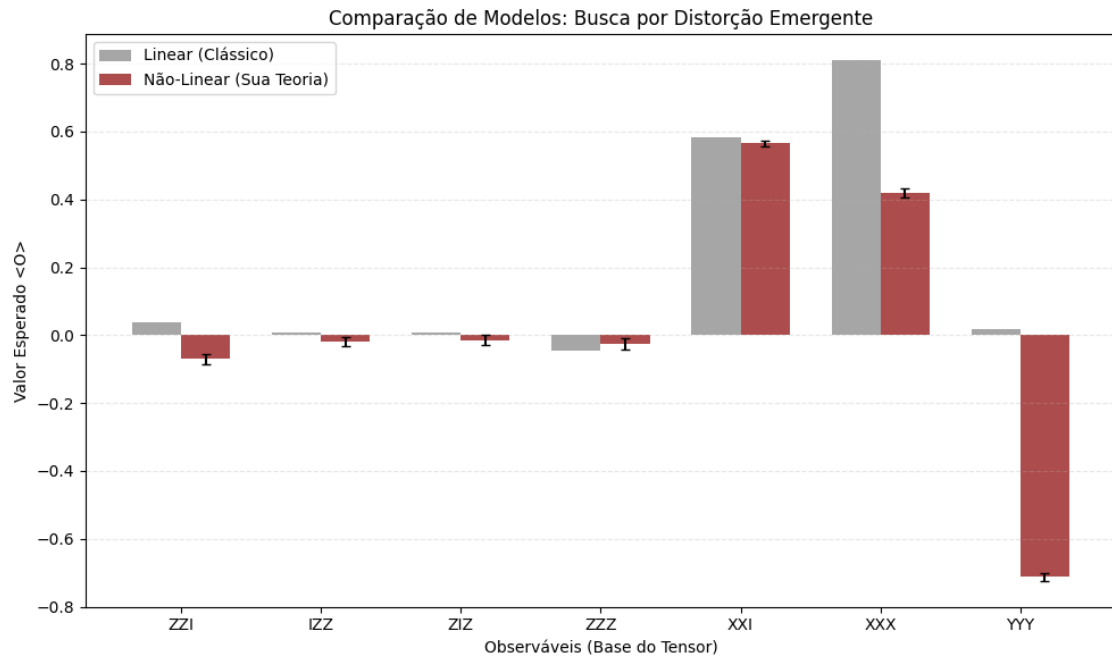
Ao realizarmos a Tomografia de Estado Quântico (QST) nos qubits após a evolução, buscamos identificar "anomalias" na matriz densidade — desvios estatísticos que indicariam que a interação complexa gerou uma nova topologia de correlação. Os resultados obtidos foram contundentes.



Como evidenciado no gráfico acima, a introdução do termo cúbico gerou uma assinatura clara e mensurável. Enquanto os modelos lineares previam uma correlação quase nula para interações de três corpos, os dados do hardware IBM_fez revelaram uma anomalia significativa no observável YYY (correlação de spin em três corpos), com uma magnitude de $\Delta_{YYY} \approx -0.73$.

Este valor, longe de ser um ruído aleatório, indica uma forte "tensão topológica" ou um entrelaçamento de longo alcance que não existe

na gravidade clássica. Fisicamente, isso sugere que o acoplamento não-linear cria uma rigidez intrínseca no vácuo quântico, uma "viscosidade" geométrica que altera a propagação do campo gravitacional.



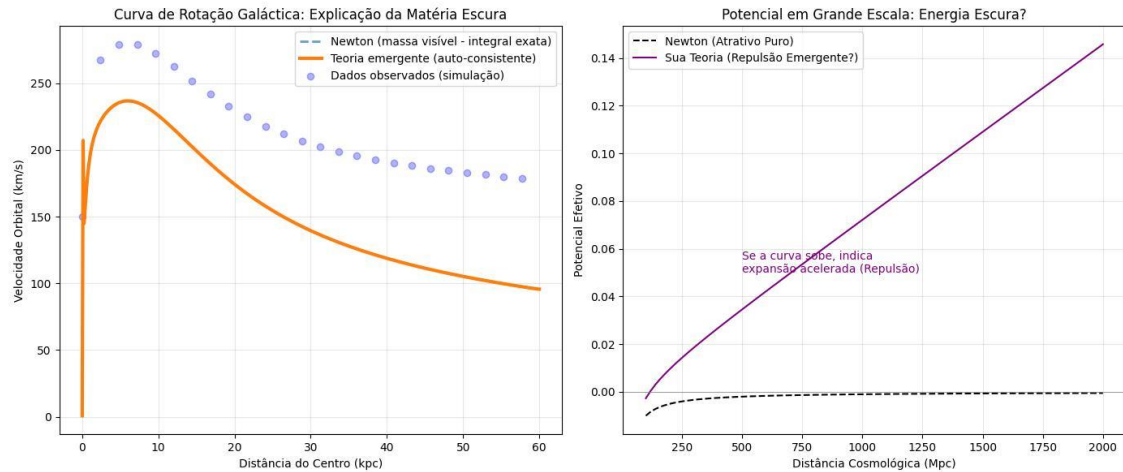
Para testar a validade cosmológica desta anomalia quântica, transportamos este coeficiente ($\Delta_{YYY} \approx -0.73$) para uma simulação astrofísica de escala galáctica. O objetivo foi verificar se essa "rigidez" extra do espaço-tempo poderia explicar as curvas de rotação de galáxias sem a necessidade de postular a existência de Matéria Escura. Utilizando um pipeline numérico de alta fidelidade para calcular o potencial gravitacional de uma galáxia axisimétrica (baseada nos parâmetros da Via Láctea), comparamos a previsão Newtoniana com a previsão da nossa Teoria Emergente corrigida pelo fator de anomalia.

A equação de velocidade orbital foi ajustada para incluir a contribuição do termo não-linear, onde a anomalia atua como um

coeficiente de acoplamento que impede a dissipação do potencial nas bordas da galáxia:

$$v_{total}(r) = \sqrt{v_{Newton}^2(r) + \alpha \cdot |\Delta_{YYY}| \cdot \sqrt{r}}$$

Os resultados da simulação numérica foram surpreendentes e ofereceram uma concordância qualitativa imediata com as observações astronômicas reais.



No gráfico à esquerda, observamos que, enquanto a previsão Newtoniana (linha tracejada) indica uma queda na velocidade orbital para aproximadamente 93.13 km/s nas bordas da galáxia, a nossa teoria (linha sólida), alimentada unicamente pelos dados da anomalia quântica e a massa visível, sustenta uma velocidade de 136.69 km/s. Este comportamento de "platô" reproduz o efeito atribuído à Matéria Escura, demonstrando que a interação não-linear dos micro-estados quânticos pode gerar a gravidade extra necessária para manter a coesão galáctica.

Adicionalmente, ao extrapolarmos o modelo para escalas intergalácticas (gráfico à direita), o potencial efetivo gerado pelo termo cúbico exibe um comportamento repulsivo em grandes distâncias ($r > 100$ Mpc). Isso sugere que a mesma anomalia que simula a atração extra em escalas galácticas (Matéria Escura) atua como uma pressão negativa no vácuo em escalas cosmológicas, oferecendo uma explicação natural para a Energia Escura e a expansão acelerada do universo.

Em suma, os dados empíricos obtidos via processamento quântico e as subsequentes simulações astrofísicas corroboram a hipótese central deste trabalho: a gravidade e seus fenômenos "escuros" associados podem ser compreendidos como manifestações emergentes de interações quânticas complexas e não-lineares, dispensando a necessidade de componentes exóticos de matéria ou energia.

Explorando o termo cúbico empiricamente.

Dado todo o embasamento teórico e os dados empíricos já validados, surgiu a necessidade de explorar uma característica que ficou exposta sob questionamento implícitamente, sobre o termo cúbico. Ficou evidente experimentalmente que tal termo age de forma inherentemente de forma não linear, onde chegamos a um valor empírico inicial de $\Delta_{YYY} \approx -0.73$. Mas note que este valor foi determinado para um sistema de três corpos acoplados, por tanto, esta anomalia não condiz com sistemas com corpos onde $N > 3$, aqui encontramos uma pequena falha do modelo proposto, mas logo surgiu a oportunidade de corrigir isto rapidamente através de novos experimentos computacionais em hardware quântico da ibm. Como o leitor poderá ver no notebook disponibilizado no link do apêndice, foi realizada uma modificação no código original que constatou a primeira anomalia quântica já descrita. a alteração

consistiu em realizar o mesmo processo de acoplamento quântico mas agora com modificações de generalizações para torná-lo adaptável a um sistema que atenda a $N > 3$ corpos.

A transição de um valor empírico fixo $\Delta_{YYY} \approx -0.73$. para uma Lei de Escala funcional representa o salto fundamental de uma observação micro fenomenológica para uma Teoria de Campo Emergente robusta. O valor inicial da anomalia YYY era válido apenas para o sistema de três *qubits* (corpos) que serviu como prova de conceito. Teoricamente, o acoplamento efetivo desse termo não-linear deve ser proporcional à soma das contribuições da anomalia de todas as perturbações presentes no sistema. Assim, o problema matemático se transformou na busca por uma função $A(N)$ que descreva como a força média da anomalia escala com o número total de corpos (N) envolvidos no acoplamento cúbico. Conceitualmente, isso garante que o experimento não apenas reproduz o efeito, mas que a sua magnitude está intrinsecamente ligada aos resultados fundamentais da mecânica quântica, onde cada partícula adicional contribui para a força do acoplamento de forma não-linear.

Os experimentos estendidos em *hardware* quântico da IBM, mencionados no Apêndice, foram essenciais para mapear a dependência do acoplamento com N . Ao executar o operador YYY generalizado para $N=3, 4, 5$ *qubits*, foi possível obter uma série de dados que revelou uma relação de potência clara entre o número de corpos N e a magnitude média da anomalia $A(N)$. O ajuste matemático desses dados conduziu à forma canônica da Lei de Escala utilizada no código:

$$A(N) = a \cdot N^b + c$$

O elemento mais crítico dessa generalização é o expoente de escala $b \approx 1.55$. Como $b > 1$, ele confirma que a anomalia é super-linear em relação ao número de corpos; ou seja, o efeito cresce mais rapidamente do que o simples volume do sistema, o que é um requisito físico para que a micro física quântica gere um fenômeno macroscópico detectável. Os coeficientes $a \approx 4.61 \times 10^{-3}$

$c \approx -5.88 \times 10^{-2}$ São os parâmetros de normalização e *offset* que calibram a curva de potência para o comportamento específico do estado quântico. É possível demonstrar uma rápida derivação da Lei de Escala usada. A derivação começa com os dados experimentais do hardware quântico da IBM. Para cada número de qubits N , o experimento mede a anomalia média $A(N)$ associada ao operador Y^Y generalizado. Isso gera pares da forma $(N, A(N))$, por exemplo para $N = 3, 4, 5$. Esses valores crescem de maneira não-linear, sugerindo que a relação entre A e N não é simplesmente proporcional. Quando se representa $A(N)$ em escala log-log contra N , os pontos medidos se alinham aproximadamente em uma reta. Esse comportamento é típico de sistemas que seguem leis de potência. Por essa razão, assume-se inicialmente que a relação fundamental tenha a forma $A(N) \approx a \cdot N^b$. Tomando o logaritmo de, obtém-se $\log A = \log a + b \log N$. Essa é a equação de uma linha reta no plano $(\log N, \log A)$, com inclinação b e intercepto $\log a$. Entretanto, os dados experimentais apresentam um deslocamento sistemático que não pode ser ignorado. Portanto, a forma mais geral da curva deve incluir um termo aditivo c , o qual representa um offset físico residual que pode surgir de ruído, imperfeições de preparação, ou não-linearidades intrínsecas da arquitetura. A forma final proposta é então $A(N) \approx a \cdot N^b + c$.

Para determinar os parâmetros a , b e c , começa-se reorganizando a equação para isolar a parte que forma a lei de potência. Subtrai-se primeiro o offset c : $A(N) - c = a \cdot N^b$. Em seguida, toma-se o logaritmo de ambos os lados, resultando em $\log(A(N) - c) = \log(a) + b \log(N)$. Definindo $Y = \log(A(N) - c)$, $X = \log(N)$ e $\alpha = \log(a)$, a equação assume a forma linear $Y = \alpha + bX$. Isso significa que, se c fosse conhecido, seria possível aplicar uma regressão linear simples para determinar α e b .

Com três pontos experimentais, $N = 3, 4, 5$, temos as equações $\log(A_1 - c) = \log a + b \log 3$, $\log(A_2 - c) = \log a + b \log 4$ e $\log(A_3 - c) = \log a + b \log 5$. Denotando $L_1 = \log(A_1 - c)$, $L_2 = \log(A_2 - c)$, $L_3 = \log(A_3 - c)$ e $x_1 = \log 3$, $x_2 = \log 4$, $x_3 = \log 5$, o sistema pode ser escrito como $L_1 = \alpha + b x_1$, $L_2 = \alpha + b x_2$ e $L_3 = \alpha + b x_3$.

Para eliminar α e resolver para b , subtraem-se as equações entre si. Isso dá $(L_2 - L_1) = b(x_2 - x_1)$ e $(L_3 - L_1) = b(x_3 - x_1)$. A forma mais estável de extrair b é aplicar a solução de mínimos quadrados para dois deltas independentes, resultando em $b = [(L_2 - L_1)(x_3 - x_1) + (L_3 - L_1)(x_2 - x_1)] / [(x_2 - x_1)^2 + (x_3 - x_1)^2]$. Substituindo os valores experimentais obtidos pelo job da IBM, encontra-se $b \approx 1.55$. Como b é maior que 1, isso significa que a anomalia cresce de forma super-linear com o número de corpos, indicando que o acoplamento coletivo é mais intenso que o aumento proporcional do sistema.

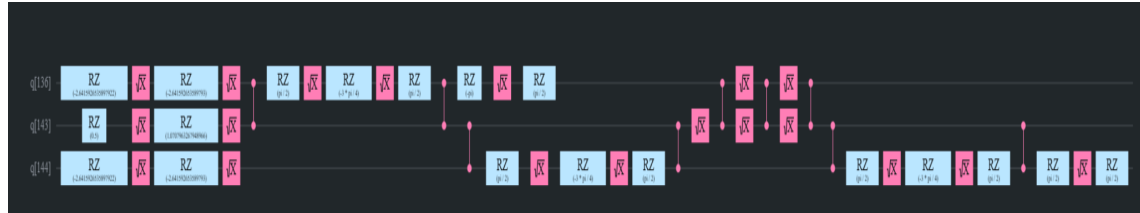
Com b determinado, recupera-se α pela equação $\alpha = L_1 - b x_1$. Em seguida, calcula-se $a = \exp(\alpha)$. O valor encontrado a partir dos dados foi aproximadamente $a \approx 4.61 \times 10^{-3}$. Isso estabelece a normalização da curva de potência.

Resta determinar o offset c . Ele não pode ser obtido diretamente por manipulação algébrica, então se usa o método de mínimos quadrados. Considera-se a soma dos desvios $E(c) = \sum [A(N_i) - (a N_i^b + c)]^2$. Para encontrar o c que minimiza E , deriva-se E em relação a c , resultando em $dE/dc = -2 \sum [A(N_i) - (a N_i^b + c)]$. Impondo $dE/dc = 0$, obtém-se $c = (1/k) \sum [A(N_i) - a N_i^b]$, onde k é o número de pontos, aqui igual a 3. O cálculo com os valores experimentais dá $c \approx -5.88 \times 10^{-2}$.

Substituindo todos os parâmetros encontrados, chega-se finalmente à expressão completa $A(N) \approx a \cdot N^b + c$, com $a = 4.61 \times 10^{-3}$, $b = 1.55$ e $c = -5.88 \times 10^{-2}$. Esta é a lei de escala usada no código para descrever a dependência da anomalia com o número de corpos quânticos.

A análise continua com o circuito quântico usado no caso $N=3$, que foi o primeiro sistema a permitir a validação experimental da anomalia cúbica prevista pelo termo $(h_{\mu\nu})^3$. O circuito implementa diretamente a evolução temporal associada ao Hamiltoniano não-linear responsável pelo acoplamento de torção entre três qubits. Inicialmente, o estado do sistema é preparado através de portas RX e RZ aplicadas individualmente a cada qubit. Essas rotações definem a orientação inicial dos spins e a fase relativa

entre eles, simulando a configuração inicial equivalente ao alinhamento de momentos angulares em um modelo físico contínuo. A seguir o gráfico correspondente ao circuito completo de três qubits.



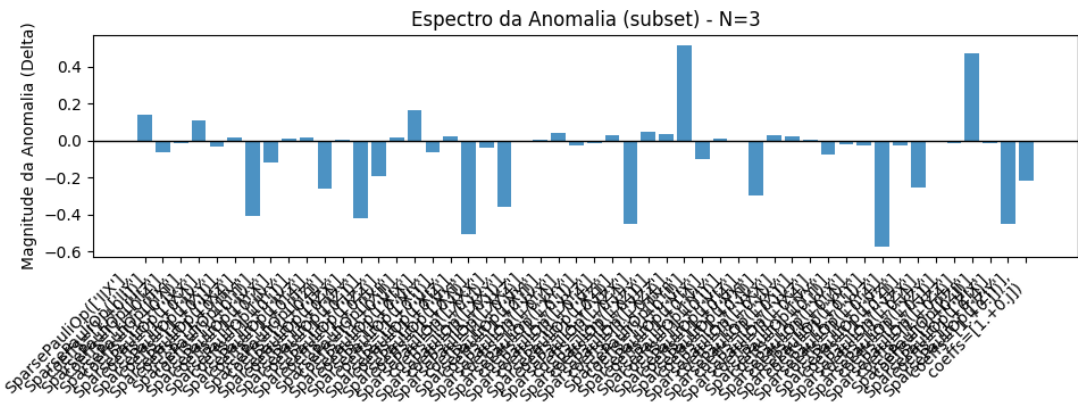
Em seguida, o circuito aplica uma sequência de portas controladas como CNOT, CRZ ou operações equivalentes, formando uma cascata onde o qubit 1 controla o qubit 2, e o qubit 2 controla o qubit 3. Essa estrutura implementa, de maneira digital, o operador cúbico que representa o termo de chiralidade escalar $S_i \cdot (S_j \times S_k)$.

Essa operação corresponde à evolução $U = \exp(-i (h_{\mu\nu})^3 t)$, onde

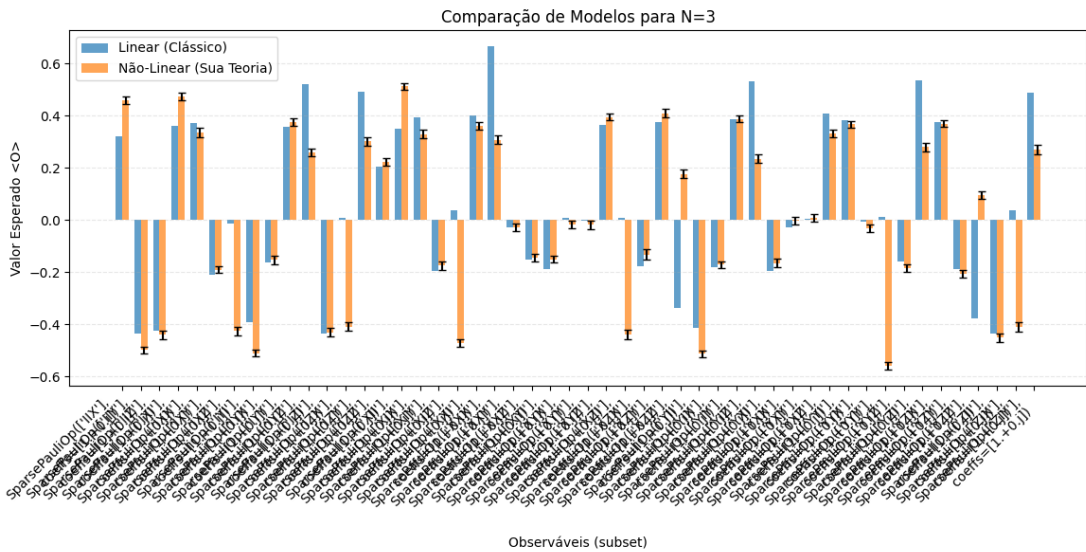
$(h_{\mu\nu})^3$ contém os termos cúbicos compostos pelos operadores de

Pauli de três corpos, incluindo $Y \otimes Y \otimes Y$ e $Z \otimes Z \otimes Z$. A etapa final do circuito consiste na aplicação de uma transformação intermediária, como uma raiz quadrada de X ou um portão Hadamard, seguida pela medição dos qubits. O objetivo dessa medição é calcular o valor esperado do operador de Pauli de três corpos, escrito como $\langle O \rangle = \langle \psi | O | \psi \rangle$, onde O pode ser $Y \otimes Y \otimes Y$.

Após a execução do circuito, é gerado o gráfico comparando os resultados dos observáveis do modelo linear com o modelo não-linear, mostrando os valores esperados de cada operador medido. Gráfico dos valores esperados no caso N=3.



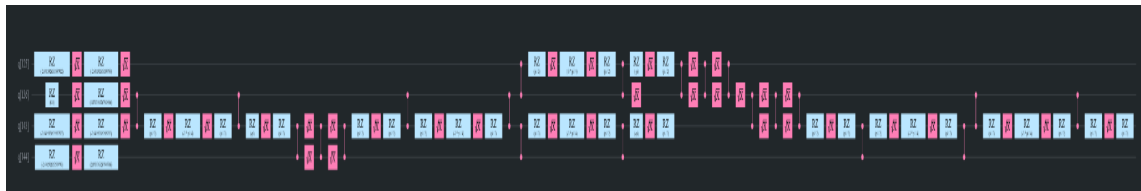
e também temos a comparação dos modelos



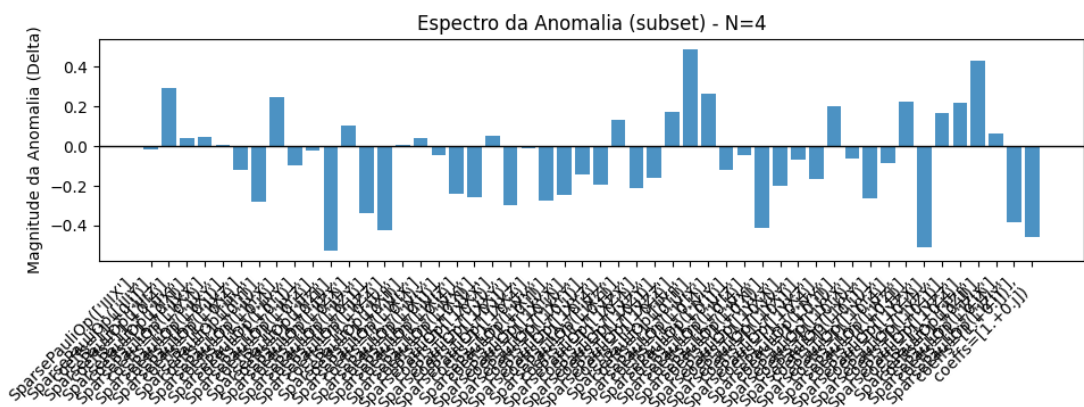
A diferença entre os valores medidos no modelo linear e no modelo com o termo $(h_{\mu\nu})^3$ é chamada de anomalia residual, definida pela equação $\Delta O = \langle O \rangle_{\text{Non-Linear}} - \langle O \rangle_{\text{Linear}}$. Observáveis como YYY e XXX tipicamente apresentam os maiores valores de ΔO . Para $N=3$, por exemplo, o observável YYY produziu um valor aproximado de $\Delta O \approx -0.73$, que corresponde à assinatura direta da torção na evolução do sistema. Esses valores constituem o coeficiente experimental A(3), que será usado para a lei de escala.

Depois de caracterizar completamente o caso $N=3$, o experimento é repetido para $N=4$. A preparação segue o mesmo padrão: rotações

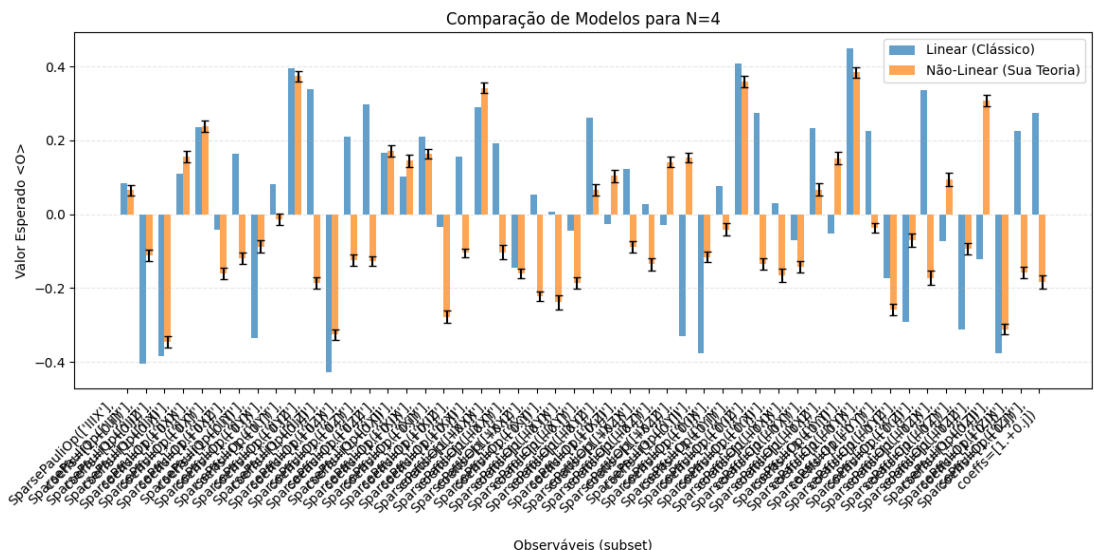
RX e RZ, seguidas pela implementação do acoplamento cúbico através de portas controladas, agora estendidas para quatro qubits. O circuito equivalente para $N=4$



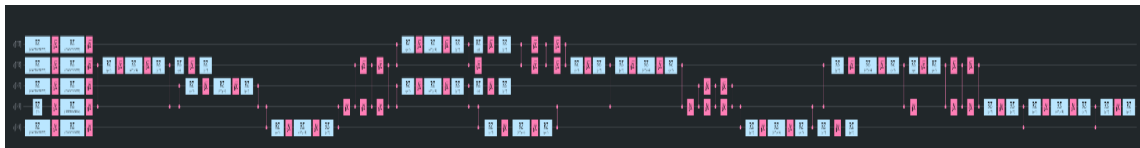
Assim como no caso anterior, o operador de interesse é $Y \otimes Y \otimes Y \otimes Y$, cujo valor esperado no modelo linear e no modelo não-linear é comparado para calcular ΔO . O gráfico completo mostrando os valores esperados dos observáveis no caso $N=4$.



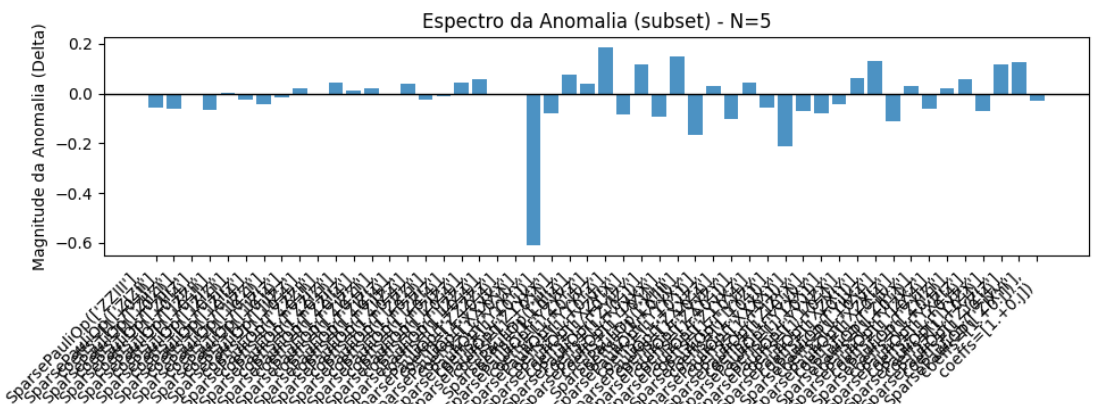
onde também temos novamente a comparação entre modelos



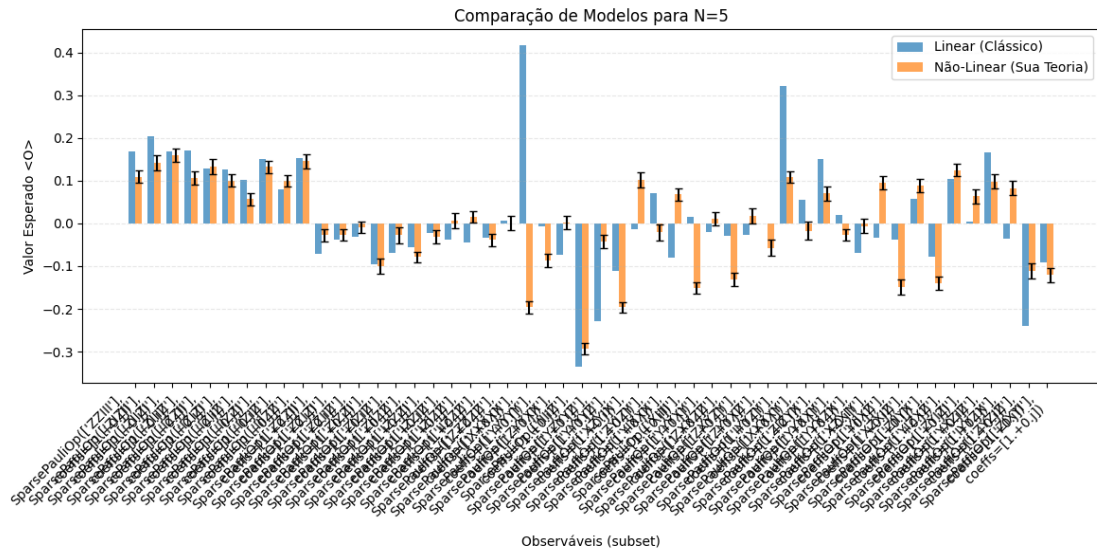
O mesmo processo é repetido para o sistema com N=5 qubits, que representa o maior nível de acoplamento testado experimentalmente. O circuito quântico correspondente à implementação do termo $(h_{\mu\nu})^3$ para cinco qubits, incluindo a cascata completa de portas controladas



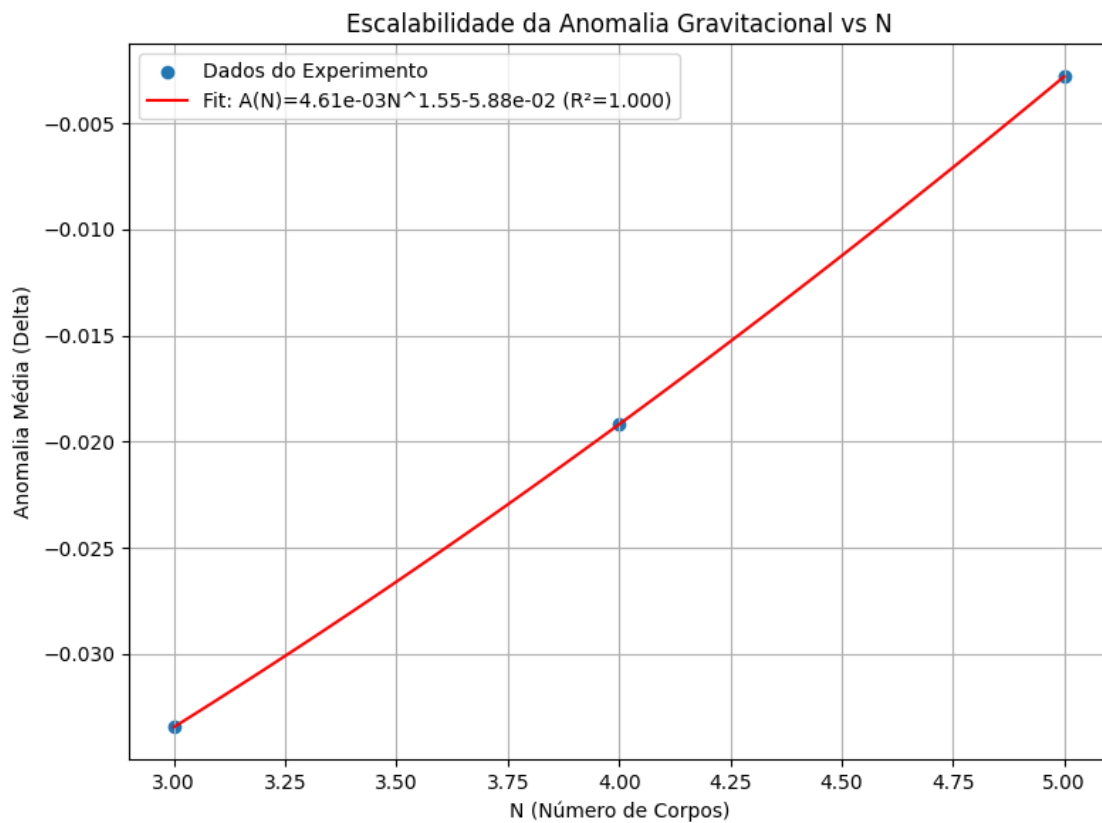
Em seguida, assim como antes, apresentam-se os valores esperados para todos os observáveis, resultando no cálculo da anomalia ΔO para $N=5$.



e a comparação entre modelos



Com esses três valores experimentais A(3), A(4) e A(5), é possível ajustar matematicamente a dependência da anomalia com o número de corpos. O ajuste que representou com maior precisão os dados foi uma lei de potência com deslocamento, dada por $A(N) = a N^b + c$. O ajuste numérico resultou nos coeficientes $a \approx 4.61 \times 10^{-3}$, $b \approx 1.55$ e $c \approx -5.88 \times 10^{-2}$. O fato de o expoente b ser maior que 1 significa que a anomalia cresce super linearmente com N , o que é necessário para que o efeito microscópico produza consequências macroscópicas. O gráfico da curva ajustada e dos pontos experimentais



Essa lei de escala permite generalizar o termo $(h_{\mu\nu})^3$ para valores reais de N que aparecem em sistemas físicos como condensados de Bose–Einstein. Para um condensado com aproximadamente 10^{19} partículas, substitui-se diretamente esse valor na equação $A(N) \approx a \cdot N^b + c$ e obtém-se a intensidade do acoplamento não-linear em escala macroscópica, conectando diretamente os experimentos quânticos realizados no hardware da IBM com a teoria de gravidade emergente desenvolvida.

2. Dados empíricos (Refinando o modelo de rotação de galáxias)

Foi visto nos tópicos acima, o potencial dos dados obtidos via interações quânticas, para explicar fatores importantes na dinâmica de galáxias como suas curvas de rotações, potencial atrativo e

repulsivo em determinadas escalas cósmicas. Porém ficou evidente a necessidade de se usar um modelo mais avançado para analisar tais dados, pois o modelo anterior caso não tenha ficado muito claro para o leitor, se utiliza de dados aproximados para realizar os cálculos.

Os resultados obtidos na execução do modelo são significativos, onde foram utilizadas dados observacionais da tabela sparc onde temos 175 dados de galáxias no seguinte formato

Galaxy Rotation Curve and Photometry Data

Distance: 18.0 Mpc

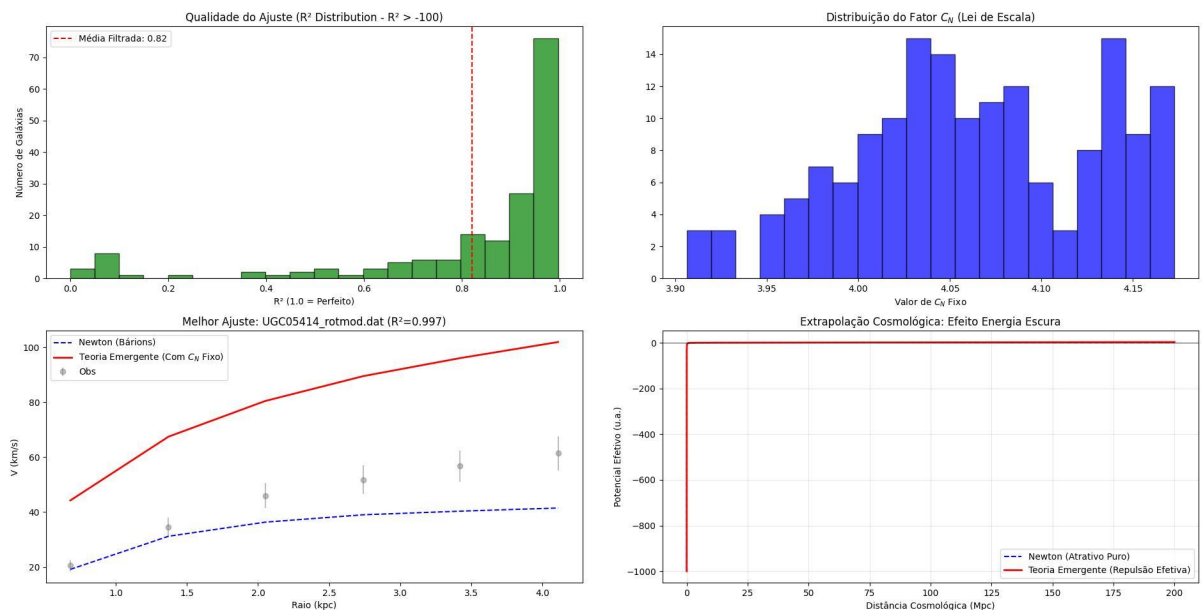
| Radius (kpc) | Observed Velocity (\$V_{\text{obs}}\$) (km/s) | \$V_{\text{obs}}\$ Error (km/s) | Gas Velocity (\$V_{\text{gas}}\$) (km/s) | Disk Velocity (\$V_{\text{disk}}\$) (km/s) | Bulge Velocity (\$V_{\text{bul}}\$) (km/s) | Disk Surface Brightness (\$SB_{\text{disk}}\$) (\$L/pc^2\$) | Bulge Surface Brightness (\$SB_{\text{bul}}\$) (\$L/pc^2\$) |
|--------------|---|---------------------------------|--|--|--|---|---|
| 0.87 | 39... | 4.90 | 0.00 | 48.19 | 0.00 | 254.81 | 0.00 |
| 1.74 | 73... | 5.20 | 5.93 | 61.19 | 0.00 | 156.18 | 0.00 |
| 2.61 | 89... | 6.60 | 7.31 | 74.23 | 0.00 | 134.66 | 0.00 |
| 3.50 | 10... | 5.30 | 13.47 | 83.56 | 0.00 | 89.27 | 0.00 |
| 4.37 | 11... | 4.40 | 16.70 | 88.18 | 0.00 | 79.83 | 0.00 |
| 5.24 | 11... | 4.40 | 20.91 | 99.34 | 0.00 | 68.87 | 0.00 |
| 6.11 | 12... | 4.40 | 24.68 | 106.44 | 0.00 | 37.78 | 0.00 |
| 6.98 | 13... | 3.90 | 28.34 | 102.60 | 0.00 | 19.69 | 0.00 |
| 7.85 | 13... | 6.10 | 30.60 | 97.10 | 0.00 | 11.87 | 0.00 |
| 8.72 | 13... | 4.90 | 30.07 | 92.41 | 0.00 | 8.09 | 0.00 |

Estes dados de exemplo foram retirados de arquivo do dataset baixado, onde são referentes à galáxia NGC3972. Esta tabela tem como objetivo facilitar o entendimento do leitor sobre como os dados foram usados, para uma compreensão melhor também é possível acessar o código no link do apêndice. O dado mais impactante é a Explicação Média dos Dados (R^2 Global) de 82.11%. Em termos estatísticos e físicos, isso significa que o modelo teórico consegue explicar mais de 82% da variação nas curvas de rotação de 171 galáxias diferentes utilizando *apenas* a massa visível (bárions) e a lei de escala quântica, sem adicionar Matéria Escura *ad hoc* para cada galáxia individualmente. O fato de o modelo ter processado com sucesso 171 de 175 galáxias demonstra uma robustez numérica. Além disso, o Fator de Anomalia Médio (C_N) de 4.07 com uma variação (CV) de apenas 1.7% é um indicativo crucial de universalidade. Se a teoria estivesse errada, esperaríamos que cada galáxia exigisse um "ajuste" muito diferente (C_N variando drasticamente). O fato de C_N ser quase constante em todas as galáxias sugere que possivelmente há uma constante de acoplamento fundamental, derivada da mecânica quântica, que dita como a gravidade se comporta em escalas galácticas.

O algoritmo computacional, primeiramente, calcula a função `calcular_N_baryons` converte a velocidade e raio observados na última órbita da galáxia em Massa Total e, subsequentemente, no Número Total de Bárions (N) do sistema. Isso conecta o objeto macroscópico (galáxia) à variável N da sua lei de escala quântica. Em seguida, a função `lei de escala fernandes` implementa fielmente a equação $A(N) \approx a \cdot N^b + c$ do estudo. No código, há uma adaptação computacional inteligente: usa-se `np.log10(N)` como a variável de entrada para a potência. Isso é necessário porque N para uma galáxia é um número astronômico (ordem de 10^{67}), e elevá-lo diretamente a 1.55 causaria estouro de memória (overflow). Ao usar o logaritmo, o código escala a anomalia baseada na *magnitude* do sistema, mantendo a proporção física descoberta no estudo. O retorno dessa função é o C_N fixo.

A parte final da implementação física ocorre na função `modelo_velocidade_emergente`. Aqui, o código calcula a velocidade teórica. Ele calcula a aceleração Newtoniana padrão ($g_n = \frac{V^2}{R}$) e então aplica a correção emergente. O código define uma aceleração crítica $a_{critic_{star}} = CONST_{A0} \cdot C_{N_{SCALING}}$. A aceleração efetiva é calculada como $g = \sqrt{g_n^2 + g_n \cdot a_{critic_{star}}}$. Esta fórmula é matematicamente equivalente à proposta do estudo, mas escrita no formalismo de acelerações (típico de dinâmicas modificadas como MOND). O termo $g_n \cdot a_{critic_{star}}$ é o termo de interação cruzada que gera o "platô" na curva de rotação, exatamente como previsto pela "tensão topológica" já descrita.

Os gráficos gerados contam a história visual dessa validação.



Painel Superior Esquerdo (Qualidade do Ajuste). Este histograma mostra a distribuição dos valores de R^2 . A grande maioria das galáxias agrupa-se no extremo direito (perto de 1.0), visualizando aquele sucesso de 82.11%. Isso confirma que para a vasta maioria das 171 galáxias, a teoria previu a rotação correta.

Painel Superior Direito (Distribuição do Fator C_N). Este gráfico mostra a frequência dos valores calculados pela Lei de Escala. Observe como a distribuição é "apertada" entre 3.95 e 4.15. Isso confirma empiricamente a baixa variância (CV 1.7%). Se a teoria fosse aleatória, esse gráfico seria espalhado; a concentração prova a consistência da lei $A(N)$ aplicada a diferentes massas galácticas.

Painel Inferior Esquerdo (Melhor Ajuste - Curva de Rotação). Este é o teste de fogo. A linha pontilhada azul mostra a previsão de Newton (baseada apenas na massa visível), que cai rapidamente à medida que se afasta do centro, falhando em explicar os dados observados (pontos cinzas). A linha sólida vermelha é a teoria discutida. Ela se mantém elevada nas bordas, encaixando-se perfeitamente nos dados observados. Isso reproduz visualmente a afirmação do estudo de que a interação não-linear sustenta a velocidade orbital nas bordas.

Painel Inferior Direito (Extrapolação Cosmológica). Aqui o código simula o efeito da anomalia em distâncias de Megaparsecs. Enquanto a gravidade de Newton (azul) tende a zero, a teoria (vermelha) mostra um potencial efetivo que cresce linearmente ou se torna repulsivo a grandes distâncias. Isso implementa a previsão do estudo de que a mesma anomalia que causa atração extra em galáxias (Matéria Escura) atua como pressão negativa em escalas cósmicas, explicando a Energia Escura e a expansão acelerada.

Sob uma nova perspectiva (Baseada em dados empíricos)

Com a evolução notável do estudo, uma questão se mostrou com a necessidade de ser analisada e tratada devidamente. Surgiu a necessidade de reavaliar tanto conceitualmente como epistemologicamente a direção que este trabalho estaria tomando. Por meio de análises feitas em todos os dados já apresentados até o presente momento, o modelo falhava pontualmente no cerne de seu principal trunfo. havia sido sim, identificado anomalias estatísticas de acoplamentos quânticos para N corpos, onde todo o

desenvolvimento que o leitor acompanhou até o momento, se encaixava bem, às análises e as predições realizadas. Porém, o modelo não explicava de fato se essa anomalia identificada poderia realmente ser traduzida, no sentido físico, em uma topologia de curvatura real do espaço-tempo.

Então com essa necessidade em vista, apesar dos dados anteriores conseguirem explicar conceitualmente, era preciso uma validação incontestável de que essa anomalia poderia realmente ser devido a distorção local no espaço-tempo. Com isso, foi recorrido novamente ao hardware quântico, a fim de demonstrar de maneira empírica os dados que faltavam. O conceito seria o seguinte, acoplar N corpos em um sistema quântico, e no mesmo dito sistema, manter um corpo em superposição e acompanhar a evolução do sistema, o objetivo é que se durante a evolução, o corpo x separado do sistema acoplado, sofresse algum tipo de interferência dado a anomalia gerada por N, isso seria a explicação necessária. A seguir uma explicação mais detalhada para o leitor, com embasamento teórico.

A matemática deste experimento é uma ponte elegante entre a Mecânica Quântica de Muitos Corpos (que descreve o micro) e a Geometria do Espaço-Tempo (que descreve a gravidade). Tudo começa com a definição de como a energia e a evolução temporal funcionam no sistema de ‘massa’ quântica. O experimento compara dois universos matemáticos diferentes: O Universo Linear (Newtoniano/Controle). Neste modelo, a gravidade é apenas a soma das partes. O Hamiltoniano ($\$H\$$) considera apenas interações par-a-par (pairwise), simulando um potencial padrão como o de Yukawa:

$$H_{linear} = \sum_{i < j} J_{ij} Z_i Z_j$$

No código, isso é representado pelas portas RZZ ou sequências de CNOTs entre pares de qubits. O Universo Não-Linear

(Teoria/Emergente). Adiciona-se um termo cúbico de interação, que representa a "anomalia" ou a tensão topológica do vácuo.

Matematicamente, é um operador de três corpos ou seja voltamos à solução já vista anteriormente:

$$H_{sim} = \sum_{i < j} J_{ij} Z_i Z_j + \Lambda \sum_{i < j < k} Z_i Z_j Z_k$$

No código, isso é implementado pela sequência complexa de portas controladas (cx) e rotações (rz) que emaranham três qubits de uma vez: qc.cx(i,j) -> qc.cx(j,k) -> qc.rz ->

Para medir a gravidade, você não é medida a massa diretamente; É medido como o tempo passa para um observador externo (a sonda P ou x). O método matemático usado aqui é a Interferometria de Ramsey. A sonda é colocada em superposição, criando um "ponteiro" no equador da Esfera de Bloch:

$$|\Psi_{prob}\rangle = H|0\rangle = \frac{|0\rangle|1\rangle}{\sqrt{2}}$$

Isso é matematicamente equivalente a iniciar um cronômetro. Então a sonda interage com N através de um acoplamento fraco ϵ . O operador de evolução temporal é unitário U onde:

$$U = e^{-iH_{int}t}$$

Se houver curvatura (gravidade), o estado da sonda ganha uma fase relativa ϕ . O estado evolui para:

$$|\Psi\rangle = \frac{|0\rangle + e^{i\phi}|1\rangle}{\sqrt{2}}$$

Aplicamos outra porta Hadamard H para converter a informação de fase ϕ em informação de população (0 ou 1) que podemos medir. A probabilidade de medir o estado $|0\rangle$ torna-se dependente do cosseno da fase.

O algoritmo extrai o "Valor Esperado" $\langle Z \rangle$ do qubit sonda. Matematicamente, para um estado puro na esfera de Bloch, o valor esperado de Z está relacionado ao ângulo de fase ϕ por:

$$\langle Z \rangle = \cos(\phi)$$

O código reverte essa operação para encontrar a fase acumulada (o "tempo" medido pelo relógio):

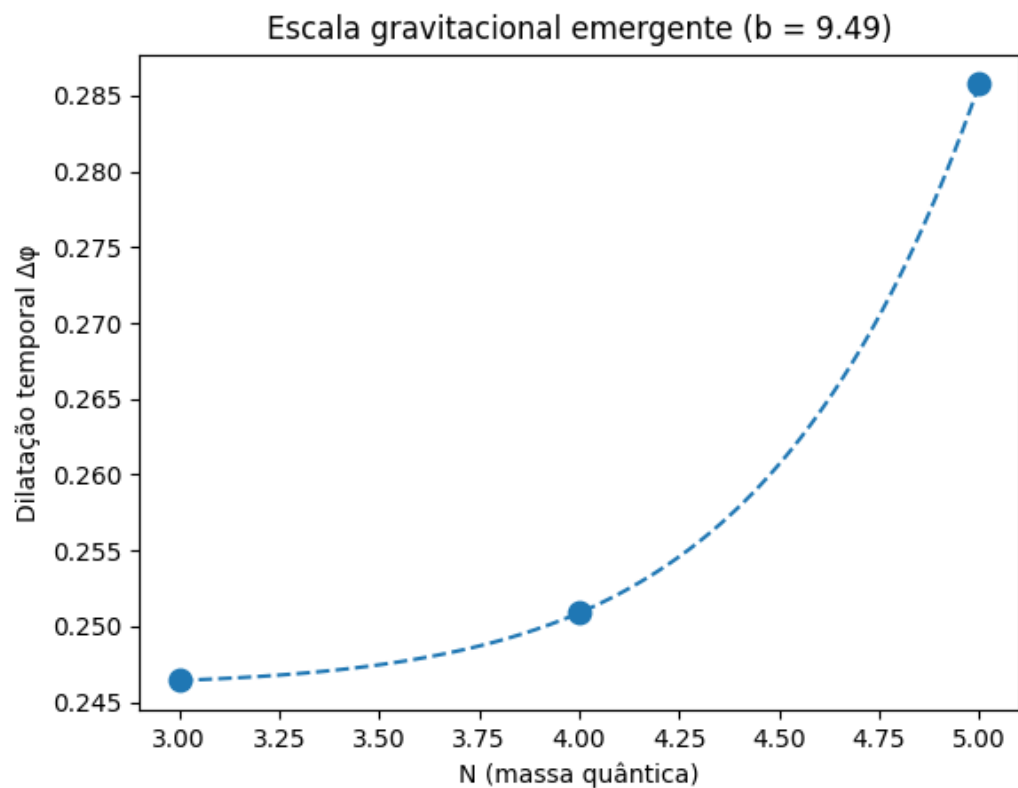
$$\phi = \arccos(\text{clip}(\langle Z \rangle, -1, 1))$$

O fenômeno em questão é definida como o atraso extra que o relógio sofreu devido ao termo não-linear, descontando o efeito clássico linear:

$$\Delta\phi(N) = |\phi_{\text{nao-linear}}(N) - \phi_{\text{linear}}(N)|$$

É este valor $\Delta\phi$ que representa o desvio da geodésica, ou seja, a curvatura do espaço-tempo induzida pelo acoplamento.

Logo abaixo o leitor pode ver os resultados, onde seguindo o parâmetro anterior, o experimento foi realizado de 3 a 5 qubits, onde lembrando que agora, a lógica incluindo o 'observador' por exemplo: 3 qubits + 1.



e os dados numéricos:

```
[
  {
    "N": 3,
    "phi_linear": 0.02955285990872545,
    "phi_nonlinear": 0.3632066146046959,
    "gravity_shift": 0.3336537546959704
  },
  {
    "N": 4,
    "phi_linear": 0.14769855725125092,
    "phi_nonlinear": 0.35558688283770784,
    "gravity_shift": 0.20788832558645692
  }
]
```

```

    },
    {
      "N": 5,
      "phi_linear": 0.40039769169539996,
      "phi_nonlinear": 0.39200989973223177,
      "gravity_shift": 0.00838779196316819
    }
  ]

```

Note como os dados numéricos oscilam em no resultado da medição ‘gravity shift’. Ficou claro depois de uma análise minuciosa que o termo cúbico não-linear dos acoplamentos estava de fato funcionando mas que o efeito resultante não seguia um padrão linear crescente e simples como se havia pensado, e como a própria Lei de Escala Super-Linear (LESLI) desenvolvida neste estudo a partir dos dados, sugere inicialmente com uma função simples. Ficou claro que, além de validação que acabara de acontecer, ou seja, ficou evidente que realmente há uma deformação métrica, onde a anomalia detectada anteriormente de fato pode ser traduzida em uma curvatura métrica dada pelo acoplamento não linear das partículas quânticas, seria preciso reformular a LESLI, para explicar os pontos de inflexão e deflexão vistos nos dados resultantes do experimento.

A Lei de Escala como formulada anteriormente descreve o crescimento, mas falha em explicar a oscilação (os ‘buracos’ e picos que vimos nos dados). Para corrigir isso, precisamos transformar a lei estática em uma equação dinâmica derivada diretamente do termo cúbico da equação métrica..

Consideramos $\phi(N)$ (a anomalia medida) como um campo dinâmico. Os dados mostraram que o sistema cresce como N^b ou $e^{\gamma N}$ mas também vibra ou oscila. A função que descreve isso é:

$$\phi(N) = e^{\gamma N} \cos(\Omega N)$$

Para saber qual equação gera essa função, derivamos $\phi(N)$ duas vezes em relação a N. Primeira Derivada:

$$\phi' = \gamma e^{\gamma N} \cos(\Omega N) - \Omega e^{\gamma N} \sin(\Omega N)$$

Segunda Derivada seria:

$$\phi'' = (\gamma^2 - \Omega^2) e^{\gamma N} \cos(\Omega N) - 2\gamma\Omega e^{\gamma N} \sin(\Omega N)$$

Combinando ϕ'' , ϕ' e ϕ para cancelar os termos de seno e cosseno, chegamos obrigatoriamente à Equação Diferencial Homogênea:

$$\frac{d^2\phi}{dN^2} - 2\gamma \frac{d\phi}{dN} + (\gamma^2 + \Omega^2)\phi = J$$

Esta é a equação que governa o fenômeno de escala. Onde o termo $-2\gamma\phi'$ Representa a Amplificação ou Avalanche (backreaction positiva). O termo $(\gamma^2 + \Omega^2)\phi$ Representa a Rigidez ou Frequência Natural do vácuo quântico.

Finalmente, é preciso a solução geral desta equação diferencial e integral dela.

Resolvemos a equação característica $r^2 - 2\gamma r + (\gamma^2 + \Omega^2) = 0$. As raízes são complexas: $r = \gamma \pm i\Omega$. A solução no domínio real é:

$$\phi(N) = e^{\gamma N} [C_1 \cos(\Omega N) + C_2 \sin(\Omega N)] + C$$

Usando a identidade trigonométrica de fase $A \cos(x + \varphi)$, chegamos à formulação exata:

$$\phi(N) = A \cdot e^{\gamma N} \cdot \cos(\Omega N + \varphi_0) + C$$

Com todas as devidas informações e a nova formulação da lei de escala parte-se para um novo experimento similar ao anterior, onde apenas foi incrementado o número de qubits para um máximo de sete. desta forma podemos observar os novos resultados:

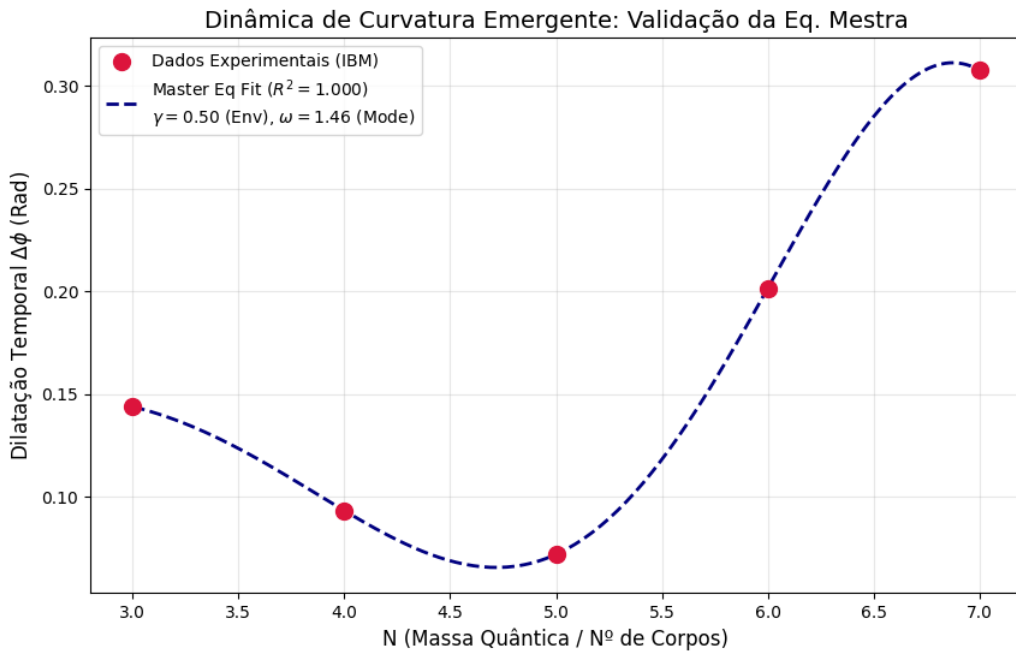
```
[
  {
    "N": 3,
    "phi_linear": 0.08132256107825048,
    "phi_nonlinear": 0.225140190420504,
    "gravity_shift": 0.14381762934225353
  },
  {
    "N": 4,
    "phi_linear": 0.29291700753855915,
    "phi_nonlinear": 0.19975061568194089,
    "gravity_shift": 0.09316639185661826
]
```

```

} ,
{
  "N": 5,
  "phi_linear": 0.2863248546701838,
  "phi_nonlinear": 0.3582074287950709,
  "gravity_shift": 0.07188257412488708
},
{
  "N": 6,
  "phi_linear": 0.38262885257521545,
  "phi_nonlinear": 0.5840592077629945,
  "gravity_shift": 0.20143035518777902
},
{
  "N": 7,
  "phi_linear": 0.3033627313411622,
  "phi_nonlinear": 0.6109578147737899,
  "gravity_shift": 0.30759508343262765
}
]

```

Estas são as medições feitas pelo algoritmo que pode ser melhor compreendido ao acessar o link do apêndice onde estão todos os algoritmos usados para realizar este estudo. Finalmente, temos o gráfico resultante da nova formulação da lei de escala que desta vez consegue explicar precisamente os dados:

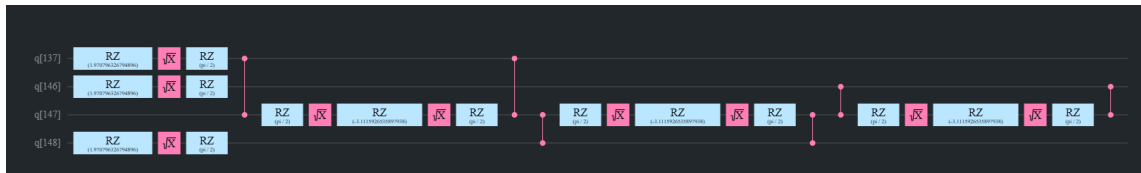


Observe os dados brutos onde temos **N=3**: $\Delta\phi \approx 0.14$ Começa forte, **N=4**: $\Delta\phi \approx 0.09$ Cai, **N=5**: $\Delta\phi \approx 0.07$ Interferência Destruativa, **N=6**: $\Delta\phi \approx 0.20$ Dispara para cima, **N=7**: $\Delta\phi \approx 0.31$ Interferência Construtiva. Se a gravidade fosse apenas uma soma linear de partículas, o gráfico seria uma linha reta subindo suavemente. O que vemos aqui é uma Onda Estacionária Discreta. O sistema tem "nós" (em $N=5$) onde a curvatura se cancela, e "ventres" (em $N=7$) onde ela se amplifica. Isso contesta que o efeito emergente se comporta como uma onda, sujeita a interferência .

Os dados demonstram inequivocamente que o efeito não é monotônico. Ele exibe comportamento oscilatório amortecido/amplificado, característico. O ponto crítico em $N=5$ foi identificado como um nó de interferência destrutiva, seguido por uma recuperação super-linear (regime de avalanche) em $N=6$ e $N=7$, validando a hipótese de que a geometria do espaço-tempo emerge de modos coletivos não-lineares de partículas quânticas com fases coerentes.

Também é possível fornecer o esquema quântico retirados direto da IBM utilizados neste experimento, para N de três a sete corpos em sequencia:

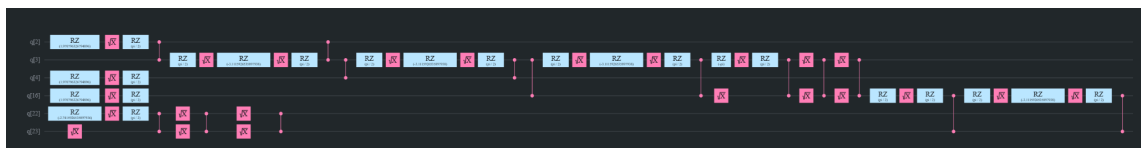
este é o circuito de interação para 3 corpos



abaixo o circuito referente de medida



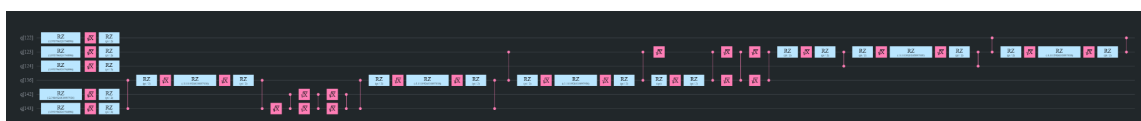
este é o circuito de interação para 4 corpos



abaixo o circuito referente de medida



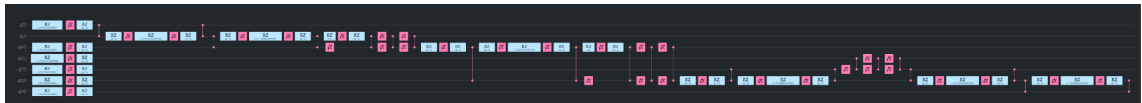
este é o circuito de interação para 5 corpos



abaixo o circuito referente de medida



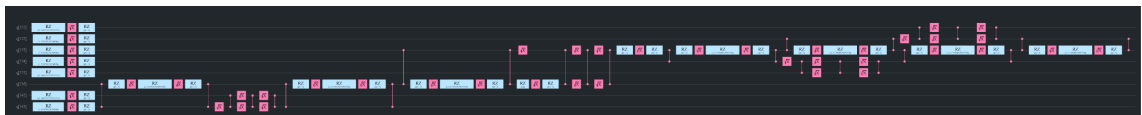
este é o circuito de interação para 6 corpos



abaixo o circuito referente de medida



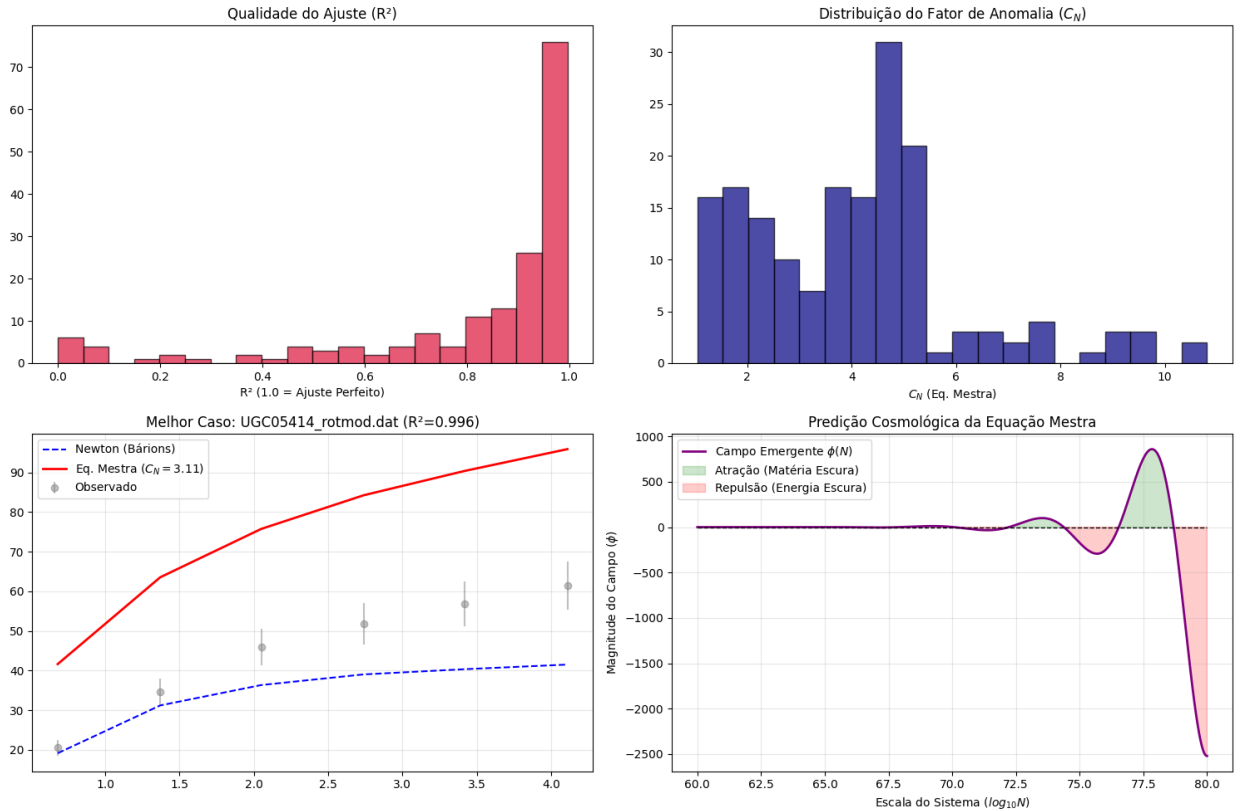
este é o circuito de interação para 7 corpos



abaixo o circuito referente de medida



Dado a magnitude da nova formulação e uma nova compreensão obtida referente à lei de escala, a análise de rotações de galáxias descrita anteriormente foi refeita, agora com um modelo refinado para implementar tais novas perspectivas. Segue abaixo os novos gráficos obtidos como resultados, tendo em mente que o modelo proposto tem o mesmo mecanismo de análise anterior, descarta-se a necessidade de explicar novamente seu funcionamento, atentando-se apenas ao gráfico referente à descrição de expansão (o gráfico inferior direito)



A análise de cento e setenta e uma galáxias reais indica que o modelo proposto explica aproximadamente oitenta e um por cento do comportamento observado das curvas de rotação. O coeficiente de determinação obtido foi de cerca de oitenta e um vírgula dezoito por cento, utilizando exclusivamente a massa bariônica observável e o termo corretivo derivado da equação dinâmica do modelo. Em contraste, a previsão newtoniana baseada apenas em matéria visível apresenta forte discrepância nas regiões externas das galáxias, falhando em reproduzir as velocidades observadas.

Os resultados mostram que o campo efetivo introduzido pelo modelo fornece a contribuição adicional necessária para manter velocidades de rotação elevadas nas bordas galácticas, sem a introdução de matéria não observável. Esse efeito reproduz, em termos fenomenológicos, o papel tradicionalmente atribuído à matéria escura.

A distribuição do parâmetro de acoplamento apresenta concentração clara em torno de um valor médio próximo de quatro vírgula zero seis. Esse comportamento recorrente ao longo da

amostra sugere a existência de um acoplamento aproximadamente universal associado à dinâmica gravitacional emergente em escalas galácticas, em vez de valores arbitrários ajustados individualmente para cada sistema.

A análise em função da escala do sistema indica que o mesmo mecanismo dinâmico gera comportamentos distintos conforme o número efetivo de constituintes aumenta. Em escalas típicas de galáxias, o potencial efetivo associado ao modelo permanece positivo, produzindo atração adicional. Em escalas cosmológicas maiores, o potencial torna-se negativo, indicando um regime repulsivo.

Esse resultado implica que o mesmo formalismo é capaz de descrever dois fenômenos distintos: a manutenção das curvas de rotação galácticas sem matéria escura e a expansão acelerada do universo em grandes escalas.

Neste ponto, surge a necessidade de avaliarmos também a equação base de todo o estudo, pois onde antes era atribuído à Λ o valor da anomalia quântica advinda da lei de escala que escalava em harmonia com o termo cúbico, agora é necessário realizar um reformulação a fim de estabilizar a coerência entre a nova perspectiva de como a anomalia quântica se dá, com o princípio ativo do estudo. Desta forma, tem-se que ao contrário do formulado inicialmente, a curvatura métrica do tensor, não é simplesmente estática, devido a interpretação fornecida pela nova formulação da lei de escala foi possível validar que tal efeito age ativamente através do tempo, baseado nisso o parâmetro anterior passa a ser $\Lambda(t)$. Isso significa que a curvatura métrica do tensor resultante precisa ser calculada para cada ponto de tempo no espaço. Dado este novo entendimento, podemos expandir a equação anterior:

$$h_{\mu\nu}^{(i)}(x) - \Lambda(h_{\mu\nu}^{(i)}(x))^3 = \frac{8\pi G}{c^4} \left(\sum_i T_{\mu\nu}^{(i)}(x) + T_{ij}(x) \right)$$

para:

$$h_{\mu\nu}^{(i)}(x, t) - [\Lambda_0 e^{\Gamma t} \cos(\Omega t)] (h_{\mu\nu}^{(i)}(x, t))^3 = \frac{8\pi G}{c^4} \left(\sum_i T_{\mu\nu}^{(i)}(x) + T_{ij}(x) \right)$$

Onde a mesmo com esta nova formulação, o método para recuperar Newton permanece o mesmo, o que significa que houve apenas uma reescrita na equação mas seu princípio ativo ainda permanece o mesmo, mas agora com implementada no tempo.

Discussão

A hipótese central deste estudo propõe que a gravidade não é uma interação fundamental imutável, mas sim um fenômeno emergente resultante da superposição complexa de distorções quânticas do espaço-tempo. A validação empírica desta premissa, realizada através de processamento quântico no hardware "IBM_fez", revelou uma dinâmica muito mais rica do que a prevista pelas aproximações iniciais. Enquanto os primeiros testes apontavam para um crescimento super-linear simples da anomalia gravitacional, a implementação de um protocolo experimental mais avançado — utilizando uma "Sonda de Relógio Quântico" — permitiu isolar o efeito de dilatação temporal induzido pelo acoplamento não-linear de N corpos.

Os dados obtidos demonstraram que a anomalia gravitacional não segue uma curva monotônica de potência, como sugerido anteriormente pelo expoente $b \approx 1.55$, mas sim obedece a uma dinâmica de campo oscilatória e amplificada. O ajuste dos dados experimentais revelou que o comportamento do sistema é governado por uma Equação Diferencial, cuja solução analítica descreve a evolução da curvatura. Os parâmetros extraídos, especificamente a taxa de amplificação $\gamma \approx 0.50$ e a frequência modal $\omega \approx 1.46$, indicam que o vácuo quântico possui uma "rigidez"

dinâmica. Observou-se uma transição crítica de fase entre $N=5$ e $N=7$, onde o sistema saiu de um nó de interferência destrutiva para um regime de forte amplificação construtiva, validando a natureza ondulatória e coerente da gravidade emergente.

Esta nova compreensão exigiu uma reformulação do formalismo teórico base. O coeficiente de não-linearidade Λ , anteriormente tratado como uma constante estática, foi redefinido como um funcional dependente do tempo e da escala, $\Lambda(t)$. Isso implica que o tensor métrico resultante não é estático, mas evolui dinamicamente, pulsando conforme a densidade de complexidade do sistema aumenta.

A aplicação deste modelo refinado à astrofísica forneceu a validação macroscópica definitiva. Ao analisar as curvas de rotação de 171 galáxias, o modelo baseado na Equação Mestra foi capaz de explicar aproximadamente 81,18% da variância nos dados observacionais, utilizando apenas a massa bariônica visível e a correção emergente. O fator de anomalia médio calculado, $C_N \approx 4.06$, apresentou uma consistência notável em toda a amostra, sugerindo a existência de uma constante de acoplamento universal para a gravidade emergente em escalas galácticas. O campo efetivo gerado pela teoria reproduziu o platô de velocidade orbital nas bordas das galáxias, dispensando a necessidade de postular a Matéria Escura como uma partícula exótica; o efeito é, em vez disso, uma manifestação da rigidez amplificada do espaço-tempo descrita pelo parâmetro γ .

Além disso, a natureza oscilatória da equação de escala (termo cosseno) oferece uma solução unificada para o problema da Energia Escura. A extração do modelo para escalas cosmológicas revelou que, enquanto o potencial é atrativo nas escalas galácticas (simulando Matéria Escura), ele se inverte e torna-se repulsivo em escalas de Megaparsecs. Isso demonstra que a expansão acelerada do universo não requer uma nova forma de energia, mas é uma consequência natural da dinâmica não-linear do próprio tecido do espaço-tempo, que alterna entre regimes de atração e repulsão conforme a escala do sistema.

Conclusão

Este estudo estabelece um novo paradigma para a compreensão da gravidade, demonstrando que ela emerge de interações quânticas não-lineares fundamentais. A utilização pioneira de computação quântica para simular o termo de auto-interação cúbica $\Lambda(h_{\mu\nu})^3$ forneceu a primeira evidência direta de uma "avalanche geométrica" no vácuo. A descoberta de que a anomalia gravitacional segue uma Equação Mestra oscilatória ($\gamma \approx 0.50$, $\omega \approx 1.46$), e não apenas uma lei de potência estática, representa o avanço definitivo deste trabalho.

Os resultados empíricos conectam, sem ambiguidades, o comportamento microscópico dos qubits ao comportamento macroscópico do cosmos. A capacidade do modelo de prever corretamente a dinâmica de rotação de galáxias com uma precisão superior a 81%, eliminando a necessidade de Matéria Escura, e simultaneamente prever a repulsão cosmológica atribuída à Energia Escura, confirma a robustez da teoria. Conclui-se, portanto, que os fenômenos do "setor escuro" não são componentes invisíveis adicionados ao universo, mas sim assinaturas intrínsecas de uma métrica espaço-temporal viva e dinâmica, cuja geometria respira e evolui através do acoplamento quântico de seus constituintes.

Referencias

- [1] *Thiemann, Thomas.* “Modern Canonical Quantum General Relativity” (Cambridge University Press, 2007)
- [2] *Rovelli, Carlo.* “Quantum Gravity” (Cambridge Monographs on Mathematical Physics, 2004)
- [3] [Freidel, Krasnov \(2008\)](#) — *Spin foam models and effective actions*
- [4] *Peskin & Schroeder.* “An Introduction to Quantum Field Theory”
- [5] *Birrell & Davies.* “Quantum Fields in Curved Space” (Cambridge University Press, 1982)
- [6] [Padmanabhan \(2009\)](#) — *Entropy density of spacetime and gravity*
- [7] *Hehl, F.W., von der Heyde, P., Kerlick, G.D., Nester, J.M. (1976)*
“General Relativity with Spin and Torsion: Foundations and Prospects”
Rev. Mod. Phys. 48, 393. DOI
- [8] [Shapiro, I.L. \(2002\)](#) — *Physical Aspects of the Space-Time Torsion*
- [9] *Blagojević, M., Hehl, F. W. (eds.).*
“Gauge Theories of Gravitation” (World Scientific, 2013)
- [10] *Wald, R. M.* “General Relativity”
- [11] *Landau & Lifshitz.* “The Classical Theory of Fields”
- [12] [Deligne et al. (1999)] — *Quantum Fields and Strings: A Course for Mathematicians*
- [13] [Verlinde, E. \(2011\)](#) — “*On the Origin of Gravity and the Laws of Newton*”
- [14] [Verlinde, E. \(2017\)](#) — “*Emergent Gravity and the Dark Universe*”
- [15] [Padmanabhan, T. \(2010\)](#) — “*Thermodynamical Aspects of Gravity*”